

## ISOLASI DAN KARAKTERISASI METABOLIT SEKUNDER DARI EKSTRAK ASETON DAUN *Macaranga pruinosa* BANGKA BELITUNG

**Occa Roanisca<sup>a</sup>, dan Yana M. Syah<sup>b</sup>**

<sup>a</sup>Jurusank Kimia Fakultas Teknik Universitas Bangka Belitung

<sup>b</sup>Jurusank Kimia Fakultas MIPA Institut Teknologi Bandung

Email: occaroanisca@gmail.com

### ABSTRACT

Macaranga is a large genus in Euphorbiaceae, locally known as "Mahang-mahangan", and consisting about 300 species. Distribution of *Macaranga* is widespread from Africa and Madagascar in the west to the tropical regions of Asia including Indonesia. Based on previous research of the *M. pruinosa*, secondary metabolites that have been reported are flavonoid, and stilbenoid derivatives from Borneo. *M. pruinosa* that grows in South Sumatra produces poilanoat acid (diterpene). Therefore, this research is done to investigate phytochemical constituent of leaves of *M. pruinosa* from Bangka Belitung Islands. Isolation is done by maceration in acetone, separation and purification using vacuum liquid chromatography and radial chromatography. Structure determination were elucidated by <sup>1</sup>H-NMR, <sup>13</sup>C-NMR, 2D NMR. Two compounds are identified as flavanon derivatives. They are nymphaeol B, and 6-farnesil-3',4',5,7-tetrahidroksiflavanon. These compounds are substituted with terphenyl group, known as geranyl (C<sub>10</sub>), and farnesyl (C<sub>15</sub>). Nymphaeol B (**1**) and compound of 6-farnesil-3', 4', 5,7-tetrahidroksiflavanon (**2**) have been found in other species of *Macaranga*. In conclusion, we here acquired two phenolic derivatives substituted by terphenyl groups from acetone extracts of leaves of *M. pruinosa* from Bangka Belitung. They are nymphaeol B, and 6-farnesil-3',4',5,7-tetrahidroksiflavanon. The result showed that *M.pruinosa* can produce different secondary metabolites depends on where they grow.

**Keywords:** *Euphorbiaceae, Macaranga pruinosa, flavanone.*

### PENDAHULUAN

Genus *Macaranga* merupakan genus yang besar dalam famili Euphorbiaceae terdiri dari 300 spesies<sup>[1]</sup>. Genus ini tersebar di daerah tropik mulai dari Afrika Madagaskar bagian barat, hingga wilayah tropik Asia termasuk Indonesia<sup>[2]</sup>. Penyebaran di Indonesia tersebar di Sumatra, Sulawesi, Kalimantan, Jawa, Halmahera, Bangka, Maluku, dan Papua dikenal dengan nama lokal "Mahang-mahangan"<sup>[3]</sup>.

Berdasarkan data penelitian terhadap spesies *Macaranga pruinosa*, didapatkan metabolit sekunder yang berbeda karena perbedaan

habitat spesies tersebut. *Macaranga pruinosa* yang berasal dari Kalimantan, telah diteliti oleh Syah dan Ghisalbherti pada tahun 2010 dan 2012<sup>[4,5]</sup> terhadap bagian daun diperoleh senyawa turunan fenolik yaitu flavonoid meliputi nimfaeol C, makapruinosin B, makapruinosin C, papiriflavonol A, makapruinosin D, makapruinosin E, makapruinosin F, gliasperin A dan stilben makapruinosin A. Sedangkan penelitian terhadap bagian daun *M. pruinosa* yang berasal dari Sumatera Selatan diperoleh senyawa turunan non fenolik kelompok terpenoid asam poilanoat<sup>[6]</sup>. Hasil penelitian tersebut mengungkapkan bahwa perbedaan habitat dari suatu spesies

menyebabkan perbedaan metabolit sekunder yang dihasilkan.

Kajian fitokimia terkait perbedaan habitat terhadap spesies *Macaranga pruinosa* oleh karenanya menarik untuk dilakukan. Pada penelitian ini akan dikaji fitokimia terhadap daun *Macaranga pruinosa* yang berasal dari Bangka Belitung.

## METODOLOGI PENELITIAN

### Preparasi Sampel

Daun *Macaranga pruinosa* diperoleh dari provinsi Bangka Belitung. Daun segar yang didapatkan dikeringkan di udara terbuka, setelah itu digiling menjadi serbuk kering (1 kg).

### Bahan dan Alat

Bahan yang digunakan antara lain serbuk kering daun *Macaranga pruinosa*, silika gel Merck 60 GF<sub>254</sub> untuk kromatografi cair vakum (KCV), Si-gel 60 PF<sub>254</sub>, plat KLT Kieselgel 60 GF<sub>254</sub> 0,25 mm. Pelarut organik antara lain MeOH, n-heksan, etil asetat, dan aseton, serta pelarut pro analisis kloroform, pereaksi penampak noda larutan CeSO<sub>4</sub>.

Alat yang digunakan antara lain peralatan gelas, *vacuum rotary evaporator*, neraca analitik, lampu UV- Vis SSC-5410, kromatotron. Penentuan struktur molekul ditetapkan dengan analisis spektroskopi NMR dengan spektrometer Agilent <sup>1</sup>H NMR 500 MHz dan <sup>13</sup>C NMR 125 MHz, dan dibandingkan dengan data literatur.

### Ekstraksi dan Isolasi

Serbuk kering daun *Macaranga pruinosa* (1kg) dimaserasi selama 3x24 jam menggunakan pelarut aseton didapatkan ekstrak aseton kering (21,2 gr). Selanjutnya ekstrak aseton difraksinasi dengan menggunakan KCV. Pada fraksinasi ini digunakan eluen campuran n-heksan; etil asetat dengan cara meningkatkan kepolarannya ( 8:2; 7:3; 6,5; 2,5; 6:4; 1:1; (EtOAc) 100% dan MeOH) menghasilkan 13 fraksi A1 – A13. Pemurnian terhadap fraksi A8, A9, dan A10 dilakukan dengan menggunakan kromatotron. Eluen yang digunakan adalah CHCl<sub>3</sub> : MeOH (50 ml :

1ml), didapatkan fraksi ACa – ACz. Fraksi ACi dan ACj merupakan senyawa murni nimfaeol B (**1**) sebanyak 8 mg. Pemurnian selanjutnya terhadap fraksi A8, A9, dan A10 menggunakan kromatotron menggunakan eluen CHCl<sub>3</sub>:MeOH (50 ml : 1ml), menghasilkan fraksi ACa – ACz. Fraksi ACm dan ACn merupakan senyawa murni 6-farnesil-3',4',5,7-tetrahidroksiflavanon (**2**) sebanyak 33 mg.

## HASIL DAN DISKUSI

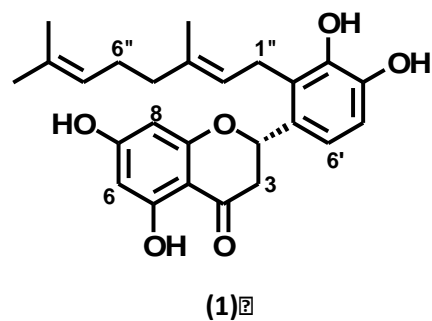
Nimfaeol B didapatkan berupa minyak bewarna coklat dengan rumus molekul C<sub>25</sub>H<sub>28</sub>O<sub>6</sub>. Berdasarkan spektrum <sup>1</sup>H-NMR didapatkan tiga sinyal proton dobel doblet pada pergeseran kimia 5,52 ppm (1H, dd, *J* = 2,1 dan 11,0 Hz, H-2), 3,11 ppm (1H, dd, *J* = 13,4 dan 17,1Hz, H-3a), dan 2,75 ppm (1H, dd, *J* = 2,3 dan 17,1, H-3b) sebagai bukti kerangka flavanon, serta satu sinyal singlet gugus hidroksi terkait pada pergeseran kimia 12,07 ppm [7]. Pada daerah aromatik terdapat dua sinyal proton doblet pada pergeseran kimia yang lebih *deshielding* 6,84 ppm (1H, *d*, *J* = 8,4 Hz) dan 6,97 ppm (1H, *d*, *J* = 8,4 Hz) menunjukkan pola substitusi berupa tetrasubstituen dengan posisi 2 proton berkopling secara *ortho* pada cincin B di posisi C-5' dan C-6', sedangkan pada pergeseran kimia yang lebih *shielding* didapatkan dua sinyal proton doblet yang saling berkopling secara *meta* δ<sub>H</sub> 5,97 ppm (1H, *d*, *J* = 1,7 Hz) dan 6,02 ppm (1H, *d*, *J* = 1,7) merupakan tetrasubstitusi pada cincin A dengan posisi proton pada C-6 dan C-8. Data <sup>13</sup>C NMR menunjukkan adanya lima sinyal karbon oksiaril δ<sub>c</sub> (ppm) : 142,6; 144,7; 163,3; 164,3; 165,6. Berdasarkan data <sup>1</sup>H-NMR dan <sup>13</sup>C NMR, diketahui bahwa terdapat substituen di cincin B pada posisi C-2'.

Analisis spektrum <sup>1</sup>H-NMR lebih lanjut untuk mengidentifikasi jenis substituen yang terikat pada gugus aromatik di cincin B, didapatkan dua sinyal vinil pada δ<sub>H</sub> : 5,04 ppm (1H, *tm*), dan 5,16 ppm (1H, *tm*), satu sinyal metilen doblet δ<sub>H</sub> 3,46 ppm, serta tiga sinyal metil singlet δ<sub>H</sub> : 1,59 ppm, 1,67 ppm, dan 1,75 ppm jenis substituen tersebut berupa gugus geraniil yang tersubstitusi pada posisi C-2' di cincin B.

Penentuan  $\delta_H$  pada gugus farnesil dilakukan dengan melihat korelasi pada spektrum NMR 2 dimensi  $^1H-^1H$  COSY. Sinyal vinil  $\delta_H$  5,16 ppm (1H, *tm*, H-2'') memiliki korelasi dengan satu sinyal proton metilen  $\delta_H$  3,46 ppm (2H, *d*, *J* = 6,5 Hz, H-1'') dan satu sinyal metil  $\delta_H$  1,75 ppm (3H, *s*, H-4''). Selanjutnya sinyal vinil  $\delta_H$  5,04 ppm (1H, *tm*, H7'') berkorelasi dengan dua sinyal metilen  $\delta_H$  2,04 ppm (2H, *m*, H-5'') dan 2,07 (2H, *m*, H-6''), serta berkorelasi dengan dua sinyal metil  $\delta_H$  1,59 ppm (3H, *s*, H-10''), dan 1,66 ppm (3H, *s*, H-9''). Berdasarkan data, senyawa tersebut merupakan nimfaeol B (Gambar 1). Nimfaeol B juga ditemukan pada spesies *M.tanarius* dan *M. triloba*<sup>[8,9,10]</sup>. Pembuktian letak gugus geranil di cincin B dilihat dari korelasi HMBC.

Kemungkinan gugus geranil tersubstitusi di cincin B posisi C-2' dibuktikan dari korelasi HMBC. Sinyal proton doblet *ortho* posisi H-4  $\delta_H$  6,97 ppm memiliki korelasi dengan  $\delta_c$  76,4 ppm (C-2), 126,3 (C-2''), dan 144,7 ppm (C-4''). Sementara itu sinyal proton metilen doblet gugus geranil  $\delta_H$  3,46 ppm memiliki

korelasi dengan  $\delta_c$  128,3 ppm (C-1''), 126,3 ppm (C-2''), 121,3 ppm (C-2'''), dan 138,3 ppm (C-3'''), korelasi sinyal-sinyal tersebut sebagai bukti bahwa gugus geranil tersubstitusi di cincin B posisi C-2''. Korelasi HMBC senyawa nimfaeol B dapat dilihat pada **Tabel 1**. Untuk perbandingan data  $^1H$ -NMR dan  $^{13}C$  NMR nimfaeol B hasil isolasi dengan data literatur ditunjukkan pada **Tabel 2**.



**Gambar 1.** Senyawa tersebut merupakan nimfaeol B

**Tabel 1** Korelasi HMBC antara  $^1H$  NMR dengan  $^{13}C$  NMR senyawa (1)

C no.	Senyawa Hasil Isolasi (Aseton- $d_6$ 500 MHz) $\delta_H$ (ppm)	Korelasi HMBC $(^1H \leftrightarrow ^{13}C)$
2	5,52	-
3	3,11	C-2, C-4
	2,75	
5	12,07	C-4a, C-5, C-6
6	6,02	C-5, C-8
8	5,97	C-4a, C-6, C-8a
5'	6,84	C-1'', C-3'', C-4''
6'	6,97	C-2, C-2'', C-4''
1''	3,46	C-1'', C-2'', C-2'', C-3''
2''	5,16	C-4'', C-5''
4''	1,75	C-2'', C-3'', C-5''
5''	2,04	C-2'', C-3'', C-6''
6''	2,07	C-5'', C-8''
7''	5,04	-
9''	1,66	C-7'', C-8'', C-10''
10''	1,59	C-7'', C-8'', C-9''

**Tabel 2** Perbandingan data  $^1\text{H}$ -NMR dan  $^{13}\text{C}$  NMR senyawa (1) hasil isolasi dengan data literature<sup>[10]</sup>.

C no.	Nimfaeol B		Senyawa Hasil Isolasi (Aseton- $d_6$ 500 MHz)	
	$\delta_{\text{H}}$ dalam ppm (integrasi, multipisisitas, $J$ dalam Hz) dan $\delta_{\text{c}}$ dalam ppm	$^1\text{H}$	$^{13}\text{C}$	$\delta_{\text{H}}$ dalam ppm (integrasi, multipisisitas, $J$ dalam Hz) dan $\delta_{\text{c}}$ dalam ppm
2	5,62 (1H, dd, $J = 2,7; 13,2$ )		76,3	5,52 (1H, dd, $J = 2,1; 11,0$ )
3a	3,16 (1H, dd, $J = 13,2; 17,1$ )		42,4	3,11 (1H, dd, $J = 13,4; 17,1$ )
3b	2,66 (1H, dd, $J = 2,7; 17,1$ )			2,75 (1H, dd, $J = 2,3; 17,1$ )
4	-		196,7	-
4a	-		102,2	-
5	12,20 (s, -OH)		164,4	12,07 (s, -OH)
6	5,96 (1H, s)		95,0	6,02 (1H, d, $J = 1,7$ )
7	-		166,5	-
8	5,96 (1H, s)		95,9	5,97 (1H, d, $J = 1,7$ )
8a	-		163,8	-
1'	-		128,9	-
2'	-		126,8	-
3'	-		143,2	-
4'	-		144,7	-
5'	6,82 (1H, d, $J = 8,1$ )		112,6	6,84 (1H, d, $J = 8,4$ )
6'	6,97 (1H, d, $J = 8,1$ )		117,7	6,97 (1H, d, $J = 8,4$ )
1''	3,56 (2H, d, $J = 6,6$ )		24,3	3,46 (2H, d, $J = 6,5$ )
2''	5,19 (1H, td, $J = 6,6$ )		123,3	5,16 (1H, tm)
3''	-		134,5	-
4''	1,70 (3H, s)		15,5	1,75 (3H, s)
5''	1,97 (2H, t, $J = 6,6$ )		39,5	2,04 (2H, m)
6''	2,05 (2H, m)		26,5	2,07 (2H, m)
7''	5,07 (1H, dt, $J = 1,5$ dan $6,5$ )		124,2	5,04 (1H, tm)
8''	-		130,9	-
9''	1,60 (3H, s)		24,9	1,66 (3H, s)
10''	1,56 (3H, s)		16,8	1,59 (3H, s)

Senyawa 6-farnesil-3',4',5,7-tetrahidroksi-flavanon merupakan minyak berwarna coklat dengan rumus molekul  $C_{30}H_{36}O_6$ . Penentuan struktur senyawa tersebut berdasarkan analisa data  $^1\text{H}$ -NMR dan  $^{13}\text{C}$  NMR. Berdasarkan data spektrum  $^1\text{H}$ -NMR didapatkan ciri kerangka flavanon yang ditunjukkan oleh sinyal-sinyal berupa tiga buah dobel doblet, yaitu 3,02 ppm, 2,39 ppm, dan 5,19 ppm. Ketiga sinyal proton tersebut berkoppel secara visinal aksial dengan ekuatorial ( $J = 2,8$  Hz), visinal aksial dengan aksial ( $J = 12,9$  Hz), dan secara germinal ( $J = 17,1$  Hz),

masing – masing untuk H-3a, H-3b, dan H-2 serta satu sinyal proton singlet untuk gugus hidroksi terkait pada pergeseran kimia 12,21 ppm. Berdasarkan data tersebut kerangka untuk senyawa yang ketiga merupakan kerangka flavanon.

Sinyal-sinyal proton pada cincin aromatik menunjukkan senyawa turunan flavanon memiliki cincin aromatik trisubstitusi dan pentasubstitusi. Sinyal proton yang lebih *shielding* memiliki  $\delta_{\text{H}}$  5,94 ppm dengan multiplisitas *singlet* (cincin A) menunjukkan

pola substitusi pada cincin A merupakan pentasubstitusi. Sinyal proton lainnya yang lebih *deshielding* memiliki tiga sinyal proton berpola ABX yang ditunjukkan dengan adanya sinyal proton dobel doblet dengan  $\delta_H$  6,78 ppm nilai  $J = 1,8$  Hz (kopling *meta*) dan  $J = 8,2$  Hz (kopling *ortho*), sinyal proton doblet pada  $\delta_H$  6,81 ppm nilai  $J = 8,2$  Hz (kopling *ortho*), serta satu sinyal proton doblet dengan  $\delta_H$  6,92 ppm nilai  $J = 1,6$  Hz (kopling *meta*). Sinyal tersebut untuk cincin B trisubstitusi senyawa turunan flavanon. Spektrum  $^{13}\text{C}$  NMR menunjukkan adanya sinyal karbon oksiaril sebanyak lima buah pada  $\delta_c$  (ppm): 144,4; 144,9; 161,1; 161,3; 164,3. Berdasarkan sinyal spektrum  $^1\text{H}$ -NMR,  $^{13}\text{C}$  NMR dan pola oksigenasi yang lazim bahwa terdapat substituen selain gugus hidroksi pada cincin A aromatik.

Penentuan jenis substituen dilakukan dengan mengidentifikasi sinyal-sinyal proton pada daerah alifatik. Pada daerah tersebut didapatkan sejumlah sinyal proton pada

pergeseran kimia 5,05 ppm, 5,06 ppm, dan 5,21 ppm. Sinyal untuk tiga buah vinal,  $\delta_H$  3,46 ppm sinyal satu buah metilen doblet, serta  $\delta_H$  1,55 ppm, 1,56 ppm, 1,64 ppm, 1,78 ppm merupakan sinyal empat buah metil singlet. Data sinyal proton menunjukkan jenis substituen yang terikat pada cincin A berupa gugus farnesil. Penentuan letak gugus farnesil ditentukan dengan melihat korelasi pada spektrum HMBC.

Analisis terhadap spektrum HMBC untuk mengetahui posisi gugus farnesil pada cincin A dengan melihat korelasi proton yang terkait. Proton yang terkait memiliki korelasi yang berjarak 2 ikatan dengan 161,3 ppm (C-5), korelasi berjarak 3 ikatan dengan  $\delta_c$  102,4 ppm (C-4a) dan 108,5 ppm (C-6). Data tersebut menunjukkan bahwa proton yang terkait berkorelasi dengan 3 karbon kuarteren, berarti gugus farnesil berada pada posisi C-6 dicincin A aromatik. Data HMBC secara keseluruhan dapat dilihat pada **Tabel 3**.

**Tabel 3** Korelasi HMBC antara  $^1\text{H}$  NMR dengan  $^{13}\text{C}$  NMR 6-farnesil-3',4',5,7 Tetrahidroksiflavanon (2)

C no.	Senyawa Hasil Isolasi (Aseton- $d_6$ 500 MHz)	Korelasi HMBC ( $^1\text{H} \leftrightarrow ^{13}\text{C}$ )
	$\delta_H$ (ppm)	
2	5,19	-
3	3,02	
	2,39	C-2, C-4, C-1'
5	12,21	C-4a, C-5, C-6
8	5,94	C-4a, C-6, C-7, C-8a
2'	6,92	C-2, C-3', C-4', C-6'
5'	6,81	C-1', C-3', C-4'
6'	6,78	C-2, C-2', C-4'
1''	3,46	C-5, C-6, C-7, C-2'', C-3''
2''	5,21	C-4'', C-5''
4''	1,78	C-2'', C-3'', C-5''
5''	1,93	C-2'', C-4'', C-6'', C-7''
6''	2,04	C-5'', C-7'', C-8''
7''	5,05	C-6'', C-9''
9''	1,55	C-7'', C-8'', C-10''
10''	1,92	C-7'', C-8'', C-10''
11''	1,99	C-10'', C-12''
12''	5,06	C-10'', C-11''
14''	1,64	C-13'', C-15''
15''	1,56	C-13'', C-14''

**Tabel 4** Perbandingan data  $^1\text{H}$ -NMR dan  $^{13}\text{C}$  NMR untuk senyawa 6-farnesil-3',4',5,7-tetrahidroksiflavanon (**2**) hasil isolasi dengan data literatur<sup>[10]</sup>

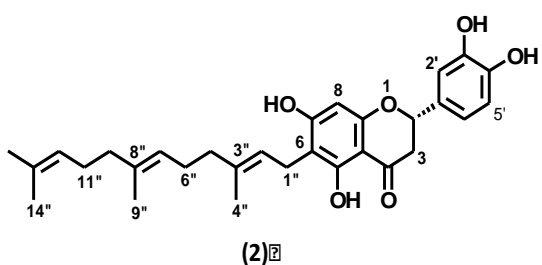
C no.	<b>6-farnesil-3',4',5,7-</b> <b>tetrahidroksiflavanon</b> (Aseton- $d_6$ 300 MHz)	<b>Senyawa Hasil Isolasi</b> (Aseton- $d_6$ 500 MHz)		
		$\delta_{\text{H}}$ (integrasi, multipisitas, <i>J</i> dalam Hz)	$\delta_{\text{H}}$	$^{13}\text{C}$
	$^1\text{H}$	$^{13}\text{C}$	$^1\text{H}$	$^{13}\text{C}$
2	5,35 (1H, dd, <i>J</i> = 3,0; 12,6)	79,0	5,19 (1H, dd, <i>J</i> = 2,8 ; 12,9)	78,9
3	3,11 (1H, dd, <i>J</i> = 12,6 ; 17,1) 2,71 (1H, dd, <i>J</i> = 3,0; 17,1)	42,8	3,02 (1H, dd, <i>J</i> =12,9;17,1Hz) 2,39 (1H, dd, <i>J</i> =2,9;17,1Hz)	42,9
4	-	196,4	-	196,1
4a	-	102,2	-	102,4
5	12,47 (-OH, s)	161,1	12,21 (s, -OH)	161,3
6	-	108,2	-	108,5
7	-	164,0	-	164,3
8	6,04 (1H, s)	94,5	5,94 (1H, s)	94,9
8a	-	161,4	-	161,1
1'	-	130,8	-	130,4
2'	7,04 (1H, s)	113,8	6,92 (1H, d, <i>J</i> =1,6)	113,3
3'	-	145,1	-	144,4
4'	-	145,5	-	144,9
5'	6,87 (1H, s)	115,1	6,81 (1H, d, <i>J</i> =8,2)	115,1
6'	6,87 (1H, s)	118,3	6,78 (1H, dd, <i>J</i> =1,8 dan 8,2)	118,5
1''	3,36 (2H, d, <i>J</i> = 7,5)	20,7	3,46 (2H, d, <i>J</i> =6,9 )	20,9
2''	5,28 (1H, td, <i>J</i> = 6,0)	122,7	5,21 (1H, <i>tm</i> )	121,9
3''	-	134,5	-	136,1
4''	1,79 (3H,s)	15,4	1,78 (3H, <i>s</i> )	16,1
5''	1,95 (2H, m)	39,6	1,93 (2H, <i>m</i> )	39,7
6''	2,00 (2H, m)	26,6	2,04 (2H, <i>m</i> )	26,5
7''	5,12 (1H, dt, <i>J</i> = 1,2; 5,7)	124,1	5,05 (1H, <i>tm</i> )	124,1
8''	-	134,0	-	134,9
9''	1,58 (3H, s)	15,3	1,55 (3H, <i>s</i> )	15,9
10''	1,95 (3H,s)	39,6	1,92 (2H, <i>m</i> )	39,6
11''	2,00 (2H, m)	26,4	1,99 (2H, <i>m</i> )	26,6
12''	5,09 (1H, dt, <i>J</i> = 1,5; 5,4)	124,4	5,06 (1H, <i>tm</i> )	124,3
13''	-	130,7	-	131,2
14''	1,65 (3H, s)	25,0	1,64 (3H, <i>s</i> )	25,6
15''	1,58 (3H, s)	16,9	1,56 (3H, <i>s</i> )	17,6

Penentuan pergeseran kimia pada substituen gugus farnesil dilihat dari spektrum  $^1\text{H}$ - $^1\text{H}$  COSY. Sinyal proton vinil  $\delta_{\text{H}}$  5,21 ppm (H-2'') memiliki korelasi dengan sinyal metilen doblet  $\delta_{\text{H}}$  3,46 ppm (H-1'') dan sinyal proton metil singlet  $\delta_{\text{H}}$  1,78 ppm (H-4''), Sinyal proton vinil  $\delta_{\text{H}}$  5,05 ppm (H-7'') berkorelasi dengan dua sinyal metilen yang memiliki

multiplisitas multiplet yaitu 1,93 ppm (H-5'') dan 2,04 ppm(H-6'') serta satu sinyal metil singlet  $\delta_{\text{H}}$  1,55 ppm (H-9''). Sinyal proton vinil  $\delta_{\text{H}}$  5,06 ppm (H-12'') berkorelasi dengan dua sinyal metilen yang multiplet, yaitu 1,92 ppm (H-10'') dan 1,99 ppm (H-11'') dan dua sinyal proton metil singlet  $\delta_{\text{H}}$  : 1,56 ppm (H-15'') dan 1,64 ppm (H-14'').

Perbandingan data  $^1\text{H-NMR}$  dan  $^{13}\text{C NMR}$  untuk senyawa hasil isolasi dengan literatur ditunjukkan pada **Tabel 4**.

Identifikasi terhadap sinyal-sinyal pada spektrum  $^1\text{H-NMR}$  dan  $^{13}\text{C NMR}$  bahwa senyawa turunan flavanon untuk senyawa kedua merupakan senyawa 6-farnesil-3',4',5,7-tetrahidroksiflavanon (2) yang pernah diisolasi dari spesies *M. triloba* (Gambar 2)



**Gambar 2.** Senyawa 6-farnesil-3',4',5,7-tetrahidroksiflavanon

## KESIMPULAN

Pada penelitian ini telah berhasil diisolasi dua senyawa turunan flavanon dari ekstrak aseton daun *Macaranga pruinosa*, yaitu nimfaeol B (1), dan 6-farnesil-3',4',5,7-tetrahidroksiflavanon (2), asal Bangka Belitung. Nimfaeol B dan 6-farnesil-3',4',5,7-tetrahidroksiflavanon telah ditemukan pada spesies *Macaranga* lainnya, yaitu *M.tanarius* dan *M. triloba*. Hasil penelitian ini menunjukkan bahwa spesies *M. pruinosa* dapat menghasilkan metabolit sekunder berbeda apabila tumbuh di tempat yang berbeda.

## DAFTAR PUSTAKA

1. Fareza, M.S., 2012, *Aktivitas Antioksidan, Antibakteri, Dan Antijamur Senyawa Flavonoid dari Daun Macaranga adisca Zoli*, Tesis Program Magister, Sekolah Pasca Sarjana, ITB, Bandung.
2. Tanjung, M., Hakim, E.H., Mujahidin, D., Hanafi, M., dan Syah, Y.M., Macagigantin, a Farnesylated Flavonol from *Macaranga gigantean*, *Journal of Asian natural products research*, **11**(11), pp.929–932 (2009).
3. Heyne, K., 1987, *Tumbuhan Berguna Indonesia Edisi 2*, Badan Penelitian dan Pengembangan Kehutanan, Departemen Kehutanan, Yayasan Sarana Wana Jaya.
4. Syah, Y.M., dan Ghisalberti, E.L., Phenolic Derivatives with an Irregular Sesquiterpenyl Side Chain from *Macaranga pruinosa*, *Natural product communications*, **5**(2), pp.219–222 (2010).
5. Syah, Y.M., dan Ghisalberti, E.L., More Phenolic Derivatives with An Irregular Sesquiterpenyl Side Chain from *Macaranga pruinosa*, *Natural product communications*, **5**(2), pp.45–49 (2012).
6. Mahendra, H., 2010, *Asam Poilanoat dari Daun Macaranga pruinosa*, Skripsi program S1, Institut Teknologi Bandung.
7. Ilmiawati, A., 2012, *Flavanoid dari Daun Macaranga mappa (Euphorbiaceae) serta Aktivitas Antioksidan dan Sitotoksiknya*, Tesis Program Magister, Sekolah Pasca Sarjana, ITB, Bandung.
8. Kawakami, S., Harinantainina, L., Matsunami, K., Otsuka, H., Shizato, T., dan Takeda, Y., Macaflavanones A-G, Prenylated Flavanones from the Leaves of *Macaranga tanarius*, *Journal of Natural Products*, **71**(11), pp.1872–1876 (2008).
9. Tseng, M.H., Kuo, Y.H., Chen, Y.M., dan Chou C.H., Allelopathic Potential of *Macaranga tanarius* (L.) Muell.-Arg, *Journal of Chemical Ecology*, **29**(5), pp.1269–1286 (2003).
10. Zakaria, I., Ahmat, N., Jaafar, F.M., Widyawaruyanti, A., Flavonoids with Antiplasmoidal and Cytotoxic Activities of *Macaranga triloba*, *Fitoterapia*, **83**(5), pp.968–972 (2012).